

**Research Paper**

Design and Sensitivity Analysis of an Earth Observation Mission's Operating Orbit in the Absence of Injection into Sun-Synchronous Orbit

Amirreza Kosari^{1*}, Asad Saghari² and Masoud Khoshima³

1,2-Faculty of New Sciences and Technologies, University of Tehran, Tehran, Iran.

3-Satellite Systems Research Institute, Iranian Space Research Center, Tehran, Iran.

* kosari_a@ut.ac.ir

This article investigates an operational orbit's design and sensitivity analysis for Earth observation (EO) missions in non-sun-synchronous orbits. Sun-synchronous orbits are the primary choice for deploying EO satellites, but in the absence of access to such orbits, alternative options can be considered, including multi-sun-synchronous orbits (MSSO) capable of repeating ground track (RGT). In this research, sets of such orbits are designed, taking into account the defined mission and considering the available altitude and inclination of the orbit. To achieve this, a constrained search problem is formulated, considering the constraints related to the characteristics of multi-sun-synchronicity and repeating ground tracks to search for orbit characteristics. Furthermore, to identify the allowable range of injection errors, a sensitivity analysis of the designed orbit's characteristics has been conducted to assess their sensitivity to uncertainties in injection accuracy during a case study investigation.

Keyword: Multi Sun-Synchronous Orbit (MSSO), Earth Observation Mission, Repeat Ground Track Orbit (RTGO), Sensitivity Analysis, Uncertainty.

1. Associate Professor (Corresponding Author)

2. Ph.D. Candidate

3. Assistant Professor

مقاله علمی-پژوهشی

طراحی و تحلیل حساسیت یک مدار عملیاتی برای کاربردهای پایش زمین در نبود امکان تزریق به مدار خورشیدآهنگ

امیررضا کوثری^{۱*}، اسد صاغری^۲ و مسعود خوش سیما^۳

۱- دانشکده علوم و فنون نوین، دانشگاه تهران، تهران، ایران

۳- پژوهشکده سامانه‌های ماهواره، پژوهشگاه فضایی ایران، تهران، ایران

*kosari_a@ut.ac.ir

در این مقاله به بررسی، طراحی و تحلیل حساسیت یک مدار عملیاتی برای مأموریت‌های پایش زمین در مدار غیر خورشیدآهنگ پرداخته شده است. مدارهای خورشیدآهنگ گزینه اصلی استقرار ماهواره‌های پایش زمین هستند، اما در نبود امکان دستیابی به چنین مدارهایی گزینه‌های دیگری نیز قابل بررسی هستند که شامل مدارهای چند خورشیدآهنگ با قابلیت تکرار رد زمینی می‌شوند. در اینجا با توجه به ارتفاع و شبیه مداری در دسترس، مجموعه‌ای از این نوع مدارها با درنظر گرفتن مأموریت تعریف شده طراحی می‌شوند. به این منظور، با تشکیل یک مسئله جستجو مقید و با درنظر گرفتن قیدهای مربوط به ویژگی چند خورشیدآهنگی و تکرارشوندگی رد زمینی، به جستجوی مشخصه‌های مداری پرداخته شده است. در ادامه، با هدف شناسایی محدوده مجاز در خطای تزریق مداری تحلیل حساسیت ویژگی‌های این مدارها نسبت به عدم قطعیت‌های دقیق تزریق طی مطالعه موردیمورد بررسی و ارزیابی قرار گرفته است.

واژه‌های کلیدی: مدار چند خورشیدآهنگ، مأموریت پایش زمین، تکرار رد زمینی، تحلیل حساسیت، عدم قطعیت

علائم و اختصارات	
Ω_n	نرخ تغییرات موقعیت گره صعودی مدار
Ω_s	سرعت زاویه‌ای خورشید نسبت به زمین
D_n	روز نوادا
ω_e	سرعت دورانی زمین به دور خودش
T_n	دوره مداری نوادا
J_2	ضریب منطقه‌ای مرتبه دو زمین
μ	ثابت جاذبه زمین
مقدمه	
a	نیم قطر بزرگ
h	ارتفاع مداری
h_{RGT}	ارتفاع مداری برای خاصیت تکرار رد زمینی
h_{MSS}	ارتفاع مداری برای خاصیت چند خورشیدآهنگی
i	شبیه مداری
e	خروج از مرکزیت مدار
$LTAN$	زمان محلی گره صعودی

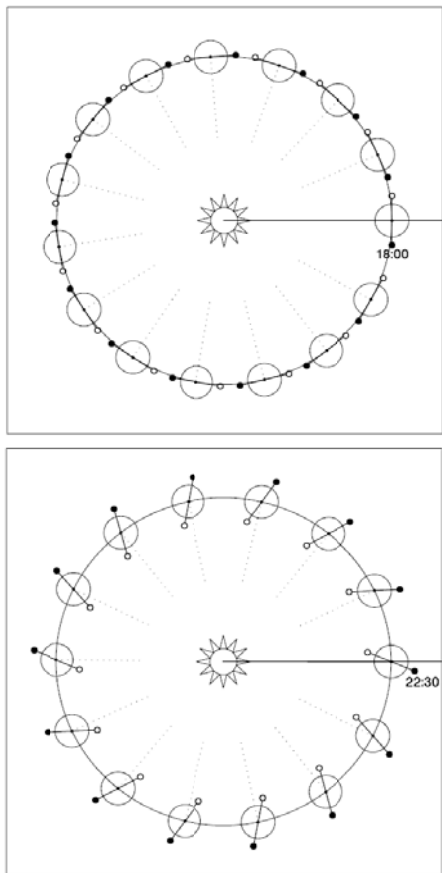
سنگشن از دور فضاییه یکی از مهمترین کاربردهای سامانه‌های فضایی است. به طوری که تا نیمه سال ۲۰۱۹ بیش از ۵۵ درصد ماهواره‌های مستقر در مدار کم ارتفاع زمین را شامل شده

۱. دانشجوی دکتری

۲. دانشیار (نویسنده مخاطب)

۳. استادیار

باشد [۲]. در چنین شرایطی به طور تقریبی همیشه زاویه بین بردار نرمال صفحه مدار و راستای تابش خورشید ثابت باقی می‌ماند [۳] و تکرار گذرهای ماهواره از هر نقطه زمین در زمان محلی تقریباً یکسان اتفاق می‌افتد [۴]. این به معنای این است که تصاویر گرفته شده در شرایط نوردهی تقریباً یکسانی تکرار می‌شوند و می‌توان با مقایسه تصاویر تغییرات را دنبال کرد [۵]. در شکل ۱ مفهوم خورشیدآهنگ در دو زمان محلی متفاوت نشان داده شده است.



شکل ۱- دو مدار خورشیدآهنگ با زمان محلی متفاوت ۱۸ و ۲۲:۳۰ [۶]

روابط مورد استفاده در طراحی یک مدار خورشیدآهنگ با درنظر گرفتن اثر J_2 به صورت زیر است [۷]:

$$\Omega_{ns} = \Omega_n - \Omega_s \quad (1)$$

$$LTAN = 12 + \frac{\Omega_{ns}}{15} \quad (2)$$

$$\dot{\Omega}_n = -\frac{3}{2} J_2 \left(\frac{R_e^2 \sqrt{\mu}}{a^2 (1-e^2)^2} \right) \cos i \quad (3)$$

$$\dot{\Omega}_s = \frac{360}{365.242 \text{ days}} \quad (4)$$

$$\dot{\Omega}_n = \dot{\Omega}_s \quad (5)$$

رابطه (۵) به عنوان شرط خورشیدآهنگی مطرح است. با درنظر گرفتن رابطه (۵) به عنوان یک قید برای شرط خورشیدآهنگی،

است^۴. یکی از الزامات کلیدی در سنجش از دور، قابلیت تشخیص و مقایسه تصاویر گرفته شده در بازه‌های زمانی مشخص از یک مکان مشخص است. این الزام منجر به الزام مأموریتی «یکسان ماندن زمان محلی در تصویربرداری می‌شود» و «تکرار رد زمینی» می‌شود. به طور مشخص و متداول الزام اول از طریق استفاده از مدارهای خورشیدآهنگ قابل مرتفع شدن است. الزام دوم شرط مدار با رد زمینی تکرار شونده^۵ را به قیدهای طراحی مدار اضافه می‌نماید. این دو الزام مأموریتی برای تمامی مأموریت‌های سنجش از دور دارای اهمیت هستند. بخصوص برای آن دسته از ماهواره‌های سنجش از دور که وظیفه پایش منظم تغییرات زمین با استفاده از محموله‌های نوری در طیف مرئی را دارند الزام اول بسیار حیاتی است. به طوری که با بررسی ماهواره‌های سنجشی در طیف مرئی بیش از ۹۵ درصد از آنها در مدارهای خورشیدآهنگ مستقر هستند. این مقدار در کل ماهواره‌های سنجش از دور بیش از ۷۹ درصد است. این اعداد و ارقام نشان‌دهنده اهمیت دستیابی به مدارهای خورشیدآهنگ برای مأموریت‌های سنجش از دور است. از طرفی، تزریق مستقیم به مدار خورشیدآهنگ از هر موقعیت جغرافیایی (همانند سایت‌های پرتاب فعال ایران) امکان‌پذیر نیست و تزریق غیرمستقیم نیز غیراقتصادی و غیرمتداول است.

عدم توانایی در تزریق به مدار خورشیدآهنگ یعنی عدم امکان تصویربرداری در شرایط نوردهی یکسان، که این به معنای ازدست رفتن بخش زیادی از قابلیت‌های کاربردی و سنجشی تصاویر گرفته شده خواهد بود. یکی از راه حل‌های جایگزین حداقلی پیشنهادشده برای این منظور استفاده از مدارهای چند خورشیدآهنگ^۶ با رد زمینی تکرارشونده است [۱]. این نوع مدارها این امکان را فراهم می‌کنند که در دوره‌های زمانی مشخصی شرایط نوردهی و رد زمینی عینتاً تکرار شده و تصاویر گرفته شده قابلیت مقایسه داشته باشند. در این مقاله به طراحی و تحلیل الزامات دستیابی به یک مدار چند خورشیدآهنگ و تجزیه گرفته شده قابلیت نسبت به عدم قطعیت‌ها در ارتفاع و شبیه مداری ناشی از خطای تزریق پرتابگر پرداخته شده است.

مدارهای با خاصیت خورشیدآهنگی

مدارهایی دارای ویژگی خورشیدآهنگی هستند که نرخ چرخش صفحه مداری آنها برابر متوسط نرخ چرخش زمین به دور خورشید

^۴. آمارهای ارائه شده در این مقاله بر اساس پایگاه اطلاعات گردآوری شده تا نیمه اول سال ۲۰۱۹ است و مقادیر ارائه شده فقط شامل ماهواره‌های عملیاتی سنجش از دور بدون درنظر گرفتن ماهواره‌های توسعه و اثبات تکنولوژی سنجش از دور است.

5. Repeat Ground Track Orbits (RTGO)
6. Multi Sun-Synchronous Orbit (MSSO)

ازای آن در دوره‌های زمانی مشخصی زمان محلی گذر گره صعودی/نزولی تکرار شود. به مدارهایی با چنین ویژگی، مدارهای چند خورشیدآهنگ گفته می‌شود [۱۰-۱۳].

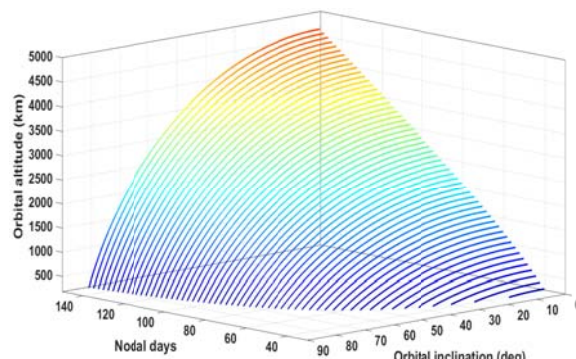
استفاده از چنین مدارهایی می‌تواند به نوعی محدودیت‌های ناشی از موقعیت جغرافیای سایت پرتاب را کاهش داده و امکان تعریف مأموریت‌های سنجش از دور در دامنه وسیعی از شبیه‌های مداری را فراهم سازد [۱۰]. معادلات حاکم بر طراحی مدارهای چند خورشیدآهنگ به صورت زیر است [۱۰-۱۳]:

$$n \cdot D_n = \frac{2\pi}{|\dot{\Omega}_S - \dot{\Omega}_n|} \quad (6)$$

$$D_n = \frac{2\pi}{\omega_e - \dot{\Omega}_n} \quad (7)$$

$$n = \frac{\omega_e - \dot{\Omega}_n}{|\dot{\Omega}_S - \dot{\Omega}_n|} \quad (8)$$

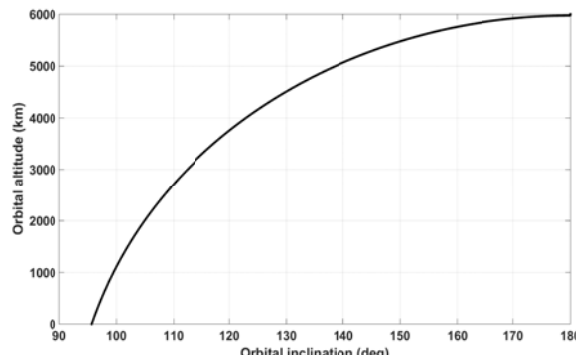
با توجه به رابطه (۶) در تعداد n روز نodal، زمان محلی تکرار می‌شود. به ازای مقادیر مختلف n با حل معادلات فوق مقادیر متناقض شبیه و ارتفاع مداری برای هر تعداد روز نodal تکرار زمان محلی همانند شکل ۳ قابل استخراج است. در شکل ۳ مقادیر شبیه و ارتفاع مداری به ازای تعداد روزهای نodal تکرار زمان محلی برای شبیه‌های مداری کمتر از ۹۰ درجه نشان داده شده است.



شکل ۳- رابطه بین شبیه و ارتفاع مداری برای دوره‌های تکرار زمان محلی مختلف با توجه به شکل ۳ به ازای مقادیر مختلف شبیه و ارتفاع مداری با طیف وسیعی از دوره‌های تکرار زمان محلی روبرو هستیم. برای مقادیر مشخص دوره‌های تکرار (برحسب روز نodal) با کاهش شبیه مداری، ارتفاع مداری معادل افزایش می‌یابد و به ازای شبیه مداری مشخص با افزایش دوره‌های تکرار ارتفاع مداری معادل افزایش خواهد یافت. بر اساس کاربرد تعریف شده برای تصاویر و محدودیت‌های تزریق مداری می‌توان اقدام به انتخاب دوره زمانی تکرار زمان محلی کرد [۱۰]. ارتباط بین ارتفاع مداری و تعداد روز نodal تکرار زمانی محلی برای شبیه ۵۵ درجه مداری به صورت شکل ۴ است.

طراحی و تحلیل حساسیت یک مدار عملیاتی برای کاربردهای پایش زمین در نبود امکان تزریق به مدار خورشیدآهنگ

مقادیر شبیه و ارتفاع به ازای حفظ خاصیت خورشیدآهنگی به صورت شکل ۲ به دست خواهند آمد.



شکل ۲- رابطه بین شبیه و ارتفاع مداری در مدارهای خورشیدآهنگ دایروی

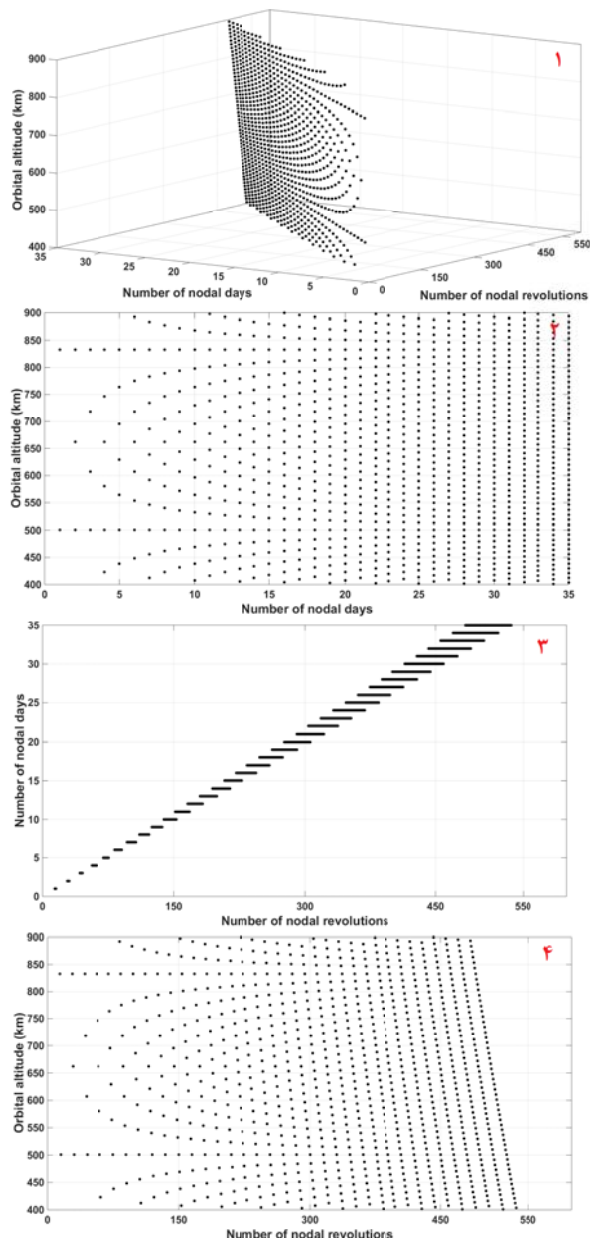
همان‌طور که در شکل ۲ دیده می‌شود و در مراجع نیز ذکر شده است، حداقل شبیه ممکن تئوری برای حفظ شرط خورشیدآهنگی $95/7$ درجه است که به ازای ارتفاع مداری صفر نتیجه می‌شود [۸]. البته لازم به توضیح است که محدوده عملیاتی رایج برای مدارهای خورشیدآهنگ ارتفاع بین ۴۰۰ تا ۹۰۰ کیلومتر و شبیه ۹۷ تا ۹۹ درجه است [۹]. مقدار شبیه مداری برای حفظ شرط خورشیدآهنگی در یک مدار دایروی با ارتفاع ۵۰۰ کیلومتر حدود $97/4$ درجه است، این درحالی است که با توجه به موقعیت شبیه‌های خورشیدآهنگ پرتاب فعال بومی محدوده شبیه مداری قابل دستیابی در محدوده ۵۵ درجه قرار دارد. ذکر دو نکته در مورد مدارهای خورشیدآهنگ ضروری است:

- خاصیت خورشیدآهنگی مختص مدارهای دایروی نیست و به ازای مقادیر مشخصی از شبیه مدار، خارج از مرکزیت مدار و نیم قطر بزرگ مدار، مدارهای بیضوی نیز می‌توانند خاصیت خورشیدآهنگی داشته باشند [۸].

• به دلیل خارج از مرکزیت مدار زمین به دور خورشید، در مدارهای خورشیدآهنگ در طول سال زمان محلی واقعی اندکی دچار تغییر می‌شود و روابط بیان شده در مراجع براساس نرخ چرخش میانگین زمین به دور خورشید یعنی $0/9856$ درجه بر روز بیان شده‌اند [۷].

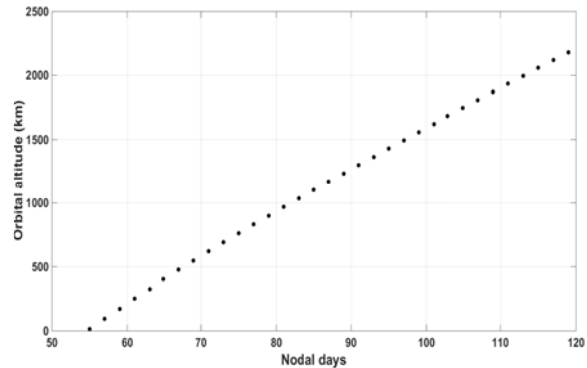
مدارهای دارای ویژگی چند خورشیدآهنگی

در مدارهای خورشیدآهنگ به ازای مقادیر معینی از شبیه، ارتفاع و خروج از مرکزیت مدار، زمان محلی گذر گره صعودی/نزولی تقریباً ثابت باقی می‌ماند. که با توجه به شکل ۲ در هر صورت این ویژگی به ازای شبیه‌های مداری بیشاز 95 درجه رخ می‌دهد. اما می‌توان مقادیر دیگری از شبیه، ارتفاع و خروج مرکزیت مدار را یافت که به



شکل ۵- رابطه بین ارتفاع مداری، تکرار رد زمینی در تعداد روز نodal و تعداد دوره‌های نodal مداری برای شیب مداری ۵۵ درجه

اگر نسبت تعداد دوره نodal مداری به تعداد روز نodal عددی صحیح شود به این نوع مدار، مدار با جابجایی رد زمینی صفر^۷ گفته می‌شود. در این مدارها زمان تکرار رد زمینی برابر یک روز نodal است و به این علت که در طول یک روز نodal، تعداد صحیح دوره نodal مداری اتفاق می‌افتد، رد زمینی همیشه از موقعیت جغرافیایی مشخصی عبور می‌کند. این نوع مدارها برای برقراری ارتباط رادیویی و یارصد روزانه مناطق خاص همچون گذرگاه‌های دریایی یا مناطق حساس از زمین مناسب خواهد بود. شایان ذکر است که با استفاده



شکل ۶- رابطه بین ارتفاع مداری و دوره تکرار زمان محلی برای شیب مداری ۵۵ درجه

مدارهای دارای ویژگی تکرار رد زمینی

همانطور که پیشتر اشاره شد یکی از الزامات در کاربردهای سنجش از دور قابلیت تکرار رد زمینی در دوره‌های زمانی تعریف شده است. در واقع به منظور مقایسه و تحلیل تصاویر، بایستی تصاویر از موقعیت جغرافیایی یکسان در شرایط نوردهی یکسان گرفته شده باشند. همانند دوره تکرار زمان محلی، دوره تکرار رد زمینی مورد نیاز تابعی از نوع کاربرد تصاویر، اهمیت و نرخ تغییرات مشخصه‌های مورد سنجش، موقعیت جغرافیایی تحت پایش است. معادلات حاکم بر مدارها با رد زمینی تکرارشونده به صورت زیر است [۱۶-۱۴, ۷, ۵]:

$$T_n = \left(2\pi \sqrt{\frac{a^3}{\mu}} \right) \left[1 - \frac{3}{2} J_2 \left(\frac{R_e}{a} \right)^2 (3 - 4 \sin^2 i) \right] \quad (9)$$

$$mD_n = kT_n \quad (10)$$

در رابطه (10) مقادیر m و k اعداد صحیح هستند. با توجه به ارتفاع و شیب مداری به ازای هر تعداد m روز نodal چندین جواب برای تعداد k دوره نodal مداری وجود خواهد داشت. در شکل ۵ مقادیر m و k برای شیب مداری ۵۵ درجه به ازای ارتفاع مداری نشان داده شده است. همانطور که در شکل ۵ (زیرشکل ۲) دیده می‌شود برای دستیابی به تعداد روزهای نodal مشخص در یک شیب مداری، گزینه‌های ارتفاع مداری مختلف وجود خواهد داشت و به ازای تعداد روز نodal مشخص نیز تعداد دوره‌ای نodal مداری مختلف وجود خواهد داشت (شکل ۵ (زیرشکل ۳)). در نهایت برای تعداد دوره‌ای نodal مداری مشخص می‌توان ارتفاع‌های مداری متفاوتی را به عنوان گزینه طراحی در اختیار داشت (شکل ۵ (زیرشکل ۴)). از طرفی، برخی جواب‌های بدست آمده برای مقادیر m و k تکراری خواهند بود، به عنوان مثال ارتفاع مداری معادل ۱۴/۵ دوره نodal مداری و یک روز نodal با ارتفاع مداری معادل ۲۹ دوره مداری و دو روز نodal یکسان است [۵].

زمین و دیگر اجرام آسمانی همگی باعث تغییر در مشخصه‌های مداری می‌شوند. برخی از این عوامل تابعی از مدت زمان مأموریت و مشخصه‌های ماهواره بوده و به مرور زمان باعث تغییر در المان‌های مداری می‌شوند. اما بعضی دیگر همچون عدم قطعیت‌های دقت تزریق در مدار و استهله به پرتاگر بوده و به عنوان یک پارامتر غیرقطعی در لحظه صفر مأموریتی می‌توانند مشخصه‌های مدار طراحی شده را دستخوش تغییر نمایند. عدم قطعیت‌ها در دقت تزریق شامل ارتفاع، شبیب، خارج از مرکزیت و زمان محلی مدار می‌شود که عموماً با معیار سه سیگما بیان می‌شود. از میان پارامترهای بیان شده، با توجه به معادلات حاکم، شبیب و ارتفاع مداری بیشترین تاثیر را روی خاصیت تکرارشوندگی رد زمینی و چند خورشیدآهنگی مدار دارند. از این رو، اثر عدم قطعیت‌های دقت تزریق در این دو پارامتر مورد بررسی قرار گرفته‌اند. در جدول ۲ مقادیر عدم قطعیت‌های دقت تزریق یک پرتاگر نوعی آورده شده است.

جدول ۱- جواب‌های موجود در محدوده شبیب مداری ۵۵ تا ۵۶ درجه و ارتفاع مداری ۴۷۰ تا ۵۳۰ کیلومتر

شبیب مداری (درجه)	ارتفاع مداری (کیلومتر)	تعداد روزهای نودال تکرار زمان محلی و رد زمینی	شماره
۵۵/۰۹	۴۹۵/۹۷	۶۸	۱
۵۵/۱۸	۴۹۱/۵۵	۶۸	۲
۵۵/۲۷	۴۸۷/۱۱	۶۸	۳
۵۵/۳۶	۴۸۲/۶۶	۶۸	۴
۵۵/۴۵	۴۷۸/۲	۶۸	۵
۵۵/۵۴	۴۷۳/۷۲	۶۸	۶
۵۵/۶۳	۴۷۸/۳	۶۹	۷
۵۵/۷۲	۴۷۳/۸۵	۶۹	۸
۵۵/۸۱	۴۷۹/۳۷	۶۹	۹
۵۵/۹۰	۴۸۱/۸۹	۶۹	۱۰
۵۵/۵۲	۵۱۰/۴	۶۹	۱۱
۵۵/۶۱	۵۰۵/۸۹	۶۹	۱۲
۵۵/۷۰	۵۱۱/۲۷	۶۹	۱۳
۵۵/۷۹	۴۹۶/۸۳	۶۹	۱۴
۵۵/۸۸	۴۹۲/۲۹	۶۹	۱۵
۵۵/۸۶	۵۲۸/۶۷	۷۰	۱۶
۵۵/۹۵	۵۲۴/۰۹	۷۰	۱۷

جدول ۲- عدم قطعیت‌های موثر در پارامترهای تزریق مداری

مقدار پراکندگی (سه سیگما)	تابع چگالی احتمال	پارامتر
۲۰ کیلومتر	نرمال	عدم قطعیت در ارتفاع مداری تزریق
۰/۱۵ درجه	نرمال	عدم قطعیت در شبیب مداری تزریق

طراحی و تحلیل حساسیت یک مدار عملیاتی برای کاربردهای پاییش زمین در نبود امکان تریق به مدار خورشید آهنگ

از تعداد بیشتری از این نوع مدارها در قالب منظومه‌های ماهواره‌ای می‌توان به پوشش دهی فراگیرتری دست یافت.

طراحی مدار چند خورشیدآهنگ با رد زمینی تکرار شونده

به منظور طراحی یک مدار عملیاتی با کاربرد سنجشی در مدار غیرخورشیدآهنگ بایستی به طور همزمان سه شرط زیر را ارضاء شوند:

۱- مدار دارای ویژگی چند خورشیدآهنگی باشد یا به عبارتی در رابطه (6) صدق کند.

۲- مدار دارای ویژگی تکرار رد زمینی باشد یا به عبارتی در رابطه (10) صدق کند.

۳- مقدار n روز نodal تکرار زمان محلی بایستی مضرب صحیحی از مقدار m روز نodal تکرار رد زمینی باشد $[10, 1]$.

این مسئله طراحی را می‌توان در غالب یک مسئله جستجوی مقید به صورت زیر تعریف کرد:

Find all $(n \& m)$ for:

$$g_1(n, m) : n \cdot D_n \cdot (|\dot{\Omega}_s - \dot{\Omega}_n|) - 2\pi = 0$$

$$g_2(n, m) : m \cdot D_n - k \cdot T_n = 0$$

$$g_3(n, m) : n - c \cdot m = 0; \text{Integer}$$

$$g_4(n, m) : h_{RGT} - h_{MSS} \leq 200$$

با حل این مسئله مقید برای محدوده شبیب مداری بین ۵۵ تا ۵۶ درجه و درجه و محدوده ارتفاع بین ۴۷۰ تا ۵۳۰ کیلومتر جواب‌ها ممکن به صورت جدول ۱ به دست می‌آیند. این جواب‌ها با فرض گام‌های تغییر $0/0/1$ درجه برای شبیب مداری و محدوده اختلاف ارتفاع معادل دو خاصیت خورشیدآهنگی و تکرارشوندگی رد زمینی کمتر از 200 متر بدست آمداند. همانطورکه در جدول ۱ مشخص است برای این محدوده از ارتفاع و شبیب مداری، مدارها با ویژگی همزمان تکرار رد زمینی و زمان محلی در سه دوره 68 ، 69 و 70 روز نodal قابل دستیابی هستند.

تحلیل حساسیت مدارهای چند خورشیدآهنگ با رد زمینی تکرار شونده نسبت به عدم قطعیت‌های ناشی از تزریق مداری

پس از تعیین مشخصات مدار مورد نظر، بایستی حساسیت آن نسبت به عدم قطعیت‌های موجود در دستیابی به مدار بررسی شود و بر آن اساس تمهیدات لازم جهت تضمین دستیابی به مدار مناسب برای تصویربرداری پیش‌بینی شود. عواملی همچون خطای تزریق مداری، درگ اتمسفر، تششععات خورشید و عوامل اغتشاشی مربوط به کره

جدول ۴ - نمونه گزینه های مداری موجود در بازه عدم قطعیت در نظر گرفته شده برای شبیه سازی ازای دوره تکرار رد زمینی ۶۹ روز نودال و ۱۰۳۴ دوره نودال مداری

شیب مداری (درجه)	ارتفاع مداری (کیلومتر)	تعداد دوره نودال	تعداد روز نودال تکرار رد زمینی
۵۵/۴۶	۵۰/۵/۶۸	۱۰۳۴	۶۹
۵۵/۴۹	۵۰/۵/۷۱		۶۹
۵۵/۵۲	۵۰/۵/۷۴		۶۹
۵۵/۵۵	۵۰/۵/۷۷		۶۹
۵۵/۵۸	۵۰/۵/۸		۶۹
۵۵/۶۱	۵۰/۵/۸۳		۶۹
۵۵/۶۴	۵۰/۵/۸۶		۶۹
۵۵/۶۷	۵۰/۵/۸۹		۶۹
۵۵/۷	۵۰/۵/۹۲		۶۹
۵۵/۷۳	۵۰/۵/۹۵		۶۹
۵۵/۷۶	۵۰/۵/۹۸		۶۹

همانطور که در جدول ۴ دیده می شود برای حفظ شرایط تکرار رد زمینی در هر ۶۹ روز نودال به ازای تغییر ۱/۱۵ درجه در شبیه سازی مداری به تغییر ارتفاع مداری معادل ۱۵۰ متر نیاز است. با توجه به نتایج و با بررسی معادلات مشخص می شود که خاصیت تکرار شوندگی رد زمینی در محدوده عدم قطعیت تزریق در شبیه سازی چندان حساس نیست. همچنین، در محدوده عدم قطعیت تزریق در ارتفاع مداری نیز به علت وجود گزینه های مداری متعدد برای تکرار رد زمینی، با تغییر ارتفاع معادل ۲۶۵۰ متر می توان به مدار با خاصیت تکرار شوندگی رد زمینی در تعداد روز نودال تعیین شده دست یافت.

تحلیل اثرات عدم قطعیت در ارتفاع و شبیه سازی روی خاصیت تکرار زمان محلی

از آنجاکه به منظور تکرار زمان محلی در تعداد روز نودل مشخص (برخلاف ویژگی تکرار رد زمینی) به ازای هر شبیه سازی فقط یک ارتفاع مداری متناظر وجود خواهد داشت. با تغییر ارتفاع مداری باستی شبیه مداری نیز تغییر نماید و با تغییر در شبیه سازی مداری باستی ارتفاع مداری به ارتفاع مداری متناظر تغییر نماید. در جدول ۵ ارتفاع های متناظر به ازای بازه عدم قطعیت تزریق در شبیه سازی ارائه شده است. همانطور که در جدول ۵ دیده می شود برای حفظ شرایط تکرار زمان محلی در هر ۶۹ روز نودال به ازای تغییر ۱/۱۵ درجه در شبیه سازی مداری به تغییر ارتفاع مداری معادل ۷/۵ کیلومتر نیاز است.

تحلیل اثرات عدم قطعیت در ارتفاع و شبیه سازی روی ویژگی تکرار رد زمینی

نتایج تحلیل حساسیت ویژگی تکرار شوندگی رد زمینی نشان می دهد که این دستیابی به شرایط تکرار رد زمینی در تعداد مشخص روز نودال با وجود عدم قطعیت در ارتفاع و شبیه سازی به ازای تصحیحات مداری اندک امکان پذیر خواهد بود. علت این امر وجود تعداد زیاد شرایط مداری در بازه عدم قطعیت شبیه سازی ارتفاع مداری به ازای شبیه ثابت برای مدار شماره ۱۲ در جدول ۱ نشان داده شده است.

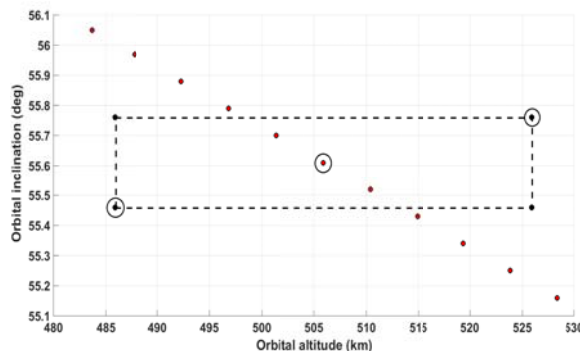
جدول ۳ - نمونه گزینه های مداری موجود در بازه عدم قطعیت در نظر گرفته شده برای ارتفاع مداری به ازای شبیه ثابت

تعداد دوره نودال	ارتفاع مداری (کیلومتر)	شیب مداری (درجه)	تعداد روز نودال تکرار رد زمینی
۱۰۳۹	۴۸۳/۱۱	۵۵/۶۱	۶۹
۱۰۳۸	۴۸۷/۶۴		۶۹
۱۰۳۷	۴۹۲/۱۸		۶۹
۱۰۳۶	۴۹۶/۷۲		۶۹
۱۰۳۵	۵۰۱/۲۷		۶۹
۱۰۳۴	۵۰۵/۸۳		۶۹
۱۰۳۳	۵۱۰/۳۹		۶۹
۱۰۳۲	۵۱۴/۹۷		۶۹
۱۰۳۱	۵۱۹/۵۵		۶۹
۱۰۳۰	۵۲۴/۱۳		۶۹

همانطور که در جدول ۳ مشهود است، به ازای شبیه ثابت، گزینه های ارتفاع مداری برای دستیابی به مدارهایی با خاصیت تکرار رد زمینی در هر ۶۹ روز نودال با فاصله های کمتر از ۵ کیلومتر تکرار می شوند. از این رو، در بحرانی ترین حالت به ازای افزایش یا کاهش ارتفاع مداری به مقدار حدود ۲/۵ کیلومتر می توان به دوره تکرار رد زمین ۶۹ روز دست یافت. در جدول ۴ نمونه گزینه های مداری موجود در بازه عدم قطعیت شبیه سازی به ازای دوره تکرار رد زمینی ۶۹ روز نودال و ۱۰۳۴ دوره نودال مداری و محدوده ارتفاع ۵۰/۵/۸۳ کیلومتر ارائه شده است.

تحلیل اثرات عدم قطعیت در ارتفاع و شبیب مداری روزی ویژگی همزمان تکرار رد زمینی و زمان محلی

همانطور که پیشتر گفته شد در یک بازه مشخص از شبیب و ارتفاع مداری، تعداد گزینه‌های مداری موجود دارای ویژگی تکرار رد زمینی در تعداد روز نodal مشخص بیشتر از تعداد گزینه‌های مداری موجود دارای خاصیت تکرار زمان محلی در تعداد روز نodal مشخص هستند. تعداد گزینه‌های مداری موجود در همان بازه که دارای هر دو ویژگی تکرار رد زمینی و تکرار زمان محلی در تعداد روز نodal مشخص هستند بسیار کمتر از تعداد گزینه‌های مداری دارای تنها یکی از دو ویژگی هستند. از این رو، قابل پیش‌بینی خواهد بود که دستیابی به مداری با دو ویژگی همزمان تکرار رد زمین و تکرار زمان محلی در شرایط وجود عدم قطعیت در ارتفاع و شبیب مداری دشوار بوده و نیازمند انجام تصحیح‌هایی در ارتفاع و شبیب مداری بیش از آنچه مورد نیاز برای دستیابی به مدارهای دارای تنها یکی از ویژگی‌ها هستند، خواهد بود. در شکل ۶ محدوده عدم قطعیت برای گزینه شماره ۱۲ در جدول ۱ و گزینه‌های مداری موجود در آن محدوده که دارای ویژگی تکرار رد زمینی و زمان محلی در ۶۹ روز نodal هستند آورده شده است.



شکل ۶- محدوده عدم قطعیت برای گزینه شماره ۱۲ جدول ۱ و گزینه‌های مداری موجود در آن محدوده

همانطور که در شکل ۶ دیده می‌شود در بازه عدم قطعیت درنظر گرفته شده مطابق جدول ۲ گزینه‌های محدودی با ویژگی تکرار رد زمینی و زمان محلی در ۶۹ روز نodal وجود دارند (نقطه قرمز رنگ). مطابق شکل بحرانی‌ترین شرایط زمانی اتفاق خواهد افتاد که ارتفاع و شبیب مدار تزریق همزمان در کران بالا یا پایین بازه عدم قطعیت درنظر گرفته شده قرار گرفته شده قرار گیرند (نقطه مشکی علامت‌گذاری شده). در چنین حالتی نیازمند تصحیح ارتفاع مداری معادل ۲۹ کیلومتر و تصحیح شبیب مداری معادل $0^{\circ} / +0^{\circ}$ درجه خواهیم بود.

طراحی و تحلیل حساسیت یک مدار عملیاتی برای کاربردهای پایش زمین در نبود امکان تزریق به مدار خورشید آهنگ

جدول ۵- تغییرات شبیب مداری در بازه عدم قطعیت تعیین شده و ارتفاع مداری معادل آن به منظور حفظ خاصیت تکرار زمان محلی در ۶۹ روز نodal

ارتفاع مداری متناظر (کیلومتر)	شبیب مداری (درجه)	تعداد روز نodal تکرار زمان محلی
۵۱۳/۳۹	۵۵/۴۶	۶۹
۵۱۱/۸۹	۵۵/۴۹	۶۹
۵۱۰/۳۹	۵۵/۵۲	۶۹
۵۰۸/۸۹	۵۵/۵۵	۶۹
۵۰۷/۳۹	۵۵/۵۸	۶۹
۵۰۵/۸۸	۵۵/۶۱	۶۹
۵۰۴/۳۸	۵۵/۶۴	۶۹
۵۰۲/۸۷	۵۵/۶۷	۶۹
۵۰۱/۳۶	۵۵/۷	۶۹
۴۹۹/۸۵	۵۵/۷۳	۶۹
۴۹۸/۳۶	۵۵/۷۶	۶۹

در جدول ۶ شبیب مداری متناظر با تغییرات ارتفاع در بازه عدم قطعیت تزریق ارتفاع مداری نشان داده شده است.

جدول ۶- تغییرات ارتفاع مداری در بازه عدم قطعیت تعیین شده و شبیب مداری معادل آن به منظور حفظ خاصیت تکرار زمان محلی در ۶۹ روز نodal

تعداد روز نodal تکرار زمان محلی	ارتفاع مداری متناظر (کیلومتر)	شبیب مداری (درجه)
۶۹	۴۸۵/۷	۵۶/۰۱
۶۹	۴۸۹/۷۶	۵۵/۹۳
۶۹	۴۹۳/۸	۵۵/۸۵
۶۹	۴۹۷/۸۴	۵۵/۷۷
۶۹	۵۰۱/۸۷	۵۵/۶۹
۶۹	۵۰۵/۸۸	۵۵/۶۱
۶۹	۵۰۹/۸۹	۵۵/۵۳
۶۹	۵۱۳/۸۹	۵۵/۴۵
۶۹	۵۱۷/۸۸	۵۵/۳۷
۶۹	۵۲۱/۸۶	۵۵/۲۹
۶۹	۵۲۵/۸۳	۵۵/۲۱

با توجه به جدول ۶ به منظور حفظ شرایط تکرار زمان محلی در دوره ۶۹ روز نodal به ازای تغییر ۲۰ کیلومتری در ارتفاع مدار تزریق نیازمند تغییر شبیب مداری به مقدار $4^{\circ}/+0^{\circ}$ درجه خواهیم بود. با مقایسه نتایج در خواهیم یافت که بحرانی‌ترین حالت ممکن برای حفظ شرایط تکرار زمان محلی، زمانی خواهد بود که ارتفاع و شبیب مدار تزریق همزمان در کران بالا یا پایین بازه عدم قطعیت درنظر گرفته شده قرار گیرند. که در این صورت با توجه به جدول‌های ۵ و ۶ برای حفظ شرایط تکرار زمان محلی در ۶۹ روز نodal نیازمند تصحیح ارتفاع مداری حدود ۲۷ کیلومتر خواهیم بود.

با در نظر گرفتن شیفت زمان محلی در هر ۶۹ روز و قید تصویربرداری در بازه زمانی ساعات ۹:۳۰ تا ۱۴:۳۰ و تعداد دوره تکرار زمان محلی در طول یک سال مأموریت، دقت تزریق مداری باستی در محدوده ۷/۱ کیلومتر برای ارتفاع مداری و ۰/۰۱۵ درجه برای شیب مداری کنترل شود.

نتیجه گیری

نتایج به دست آمده در این تحقیق تأیید می‌کند که در نبود امکان دسترسی به مدار خورشیدآهنگ، می‌توان به مدارهایی دست یافته که در آنها رد زمینی و شرایط نوردهی در سیکل‌های مشخصی تکرارپذیر خواهد بود و در نتیجه تصاویر گرفته شده را با توجه به زمان محلی آنها می‌توان با هدف مقایسه تصاویر و کاربردهای سنجشی در گروههایی دسته‌بندی کرد.

نکته مهم دیگر حساسیت این مدار به تعییرات ارتفاع و شیب مدار است. با توجه به تعدد گزینه‌های موجود برای مدارهای با ویژگی تکرار رد زمینی، می‌توان نتیجه گرفت که دستیابی به مداری با این ویژگی در حضور عدم قطعیت‌های مربوط به ارتفاع و شیب مداری چندان دشوار نبوده و با بودجه اختلاف سرعت اندکی قابل دستیابی است. اما در مورد ویژگی‌های توامان تکرار رد زمینی و زمان محلی با توجه به محدود شدن گزینه‌های موجود به‌منظور دستیابی به مداری با این دو ویژگی در حضور عدم قطعیت‌های مربوط به شیب و ارتفاع مداری نیازمند بودجه اختلاف سرعت چشمگیری به‌منظور تصحیح ارتفاع و شیب مداری خواهیم بود. با توجه به نتایج تحلیل عدم قطعیت صورت گرفته، با در نظر گرفتن شرایط نوری قبل قبول برای تصویربرداری و عمر مأموریتی می‌توان محدوده مجاز تعییرات شیب و ارتفاع مداری را تعیین کرد و با حفظ ارتفاع و شیب مداری در این محدوده قابلیت اخذ تصاویر قابل مقایسه و کاربردی را حفظ کرد.

در نهایت طراحی این نوع مدارهای چند خورشیدآهنگ می‌تواند به عنوان یک راه حل جایگزین موقت برای توسعه قابلیت‌های سنجش از دور فضایی در شرایط عدم دسترسی به مدار خورشیدآهنگ مطرح باشد.

کد توسعه داده شده در این تحقیق این امکان را برای طراحان فراهم می‌نماید که با مشخص کردن محدوده ارتفاع و شیب مداری در دسترس توسط پرتابگر، گزینه‌های مدارهای چند خورشیدآهنگ را شناسایی نموده و با درنظر گرفتن دیگر عوامل گزینه مناسب مداری را انتخاب نمایند. از طرفی با استفاده از ابزار تحلیل حساسیت نیز می‌توان محدوده مجاز تعییرات ارتفاع و شیب مداری را شناسایی کرده و در کنار عمر مأموریتی به عنوان یک الزام برای زیرسیستم پیشرانش در نظر گرفته شود.

اکنون به بررسی این موضوع می‌پردازیم که اگر تصحیح‌های مداری لازم انجام نگیرد، شرایط تکرار زمان محلی به عنوان ویژگی با حساسیت بالا نسبت به عدم قطعیت در شیب و ارتفاع مداری چگونه تعییر خواهد کرد. به این منظور با اعمال عدم قطعیت به ارتفاع و شیب مدار تزریق به مقدار بیان شده در جدول ۲ و انجام فرایند شبیه‌سازی مونت‌کارلو به تعداد ۱۰۰۰۰۰ مرتبه، نتایج برای سه گزینه شماره ۳، ۱۲ و ۱۷ جدول ۷ به قرار زیر حاصل می‌شود.

جدول ۷ - مقادیر تعییرات زمان محلی ناشی از عدم قطعیت شیب و ارتفاع مداری

ارتفاع مداری (کیلومتر)	شیب مداری (درجه)	مقدار شیفت زمان محلی (معیار سه سیگما)
۴۸۷/۱۱	۵۵/۲۷	۸۴۵ دقیقه در ۶۸ روز نوادل
۵۰۵/۸۵	۵۵/۶۱	۸۵۳ دقیقه در ۶۹ روز نوادل
۵۲۴/۱۲	۵۵/۹۵	۸۶۱ دقیقه در ۷۰ روز نوادل

همانطورکه در جدول ۷ مشهود است، در صورت درنظر نگرفتن تمہیدات لازم برای کنترل عدم قطعیت‌های دقت تزریق مداری، شیفت زمان محلی بعد از یک سیکل تکرار ۶۹ روزبه طور غیرقابل قبولی تا مقدار ۸۵۰ دقیقه می‌تواند افزایش یابد و در عمل خاصیت تکرار زمان محلی و در نتیجه قابلیت تصویربرداری در شرایط نوری یکسان در هر سیکل تکرار از بین خواهد رفت. به بیان دیگر، اگر در سیکل تکرار اول زمان محلی ساعت ۹ صبح بوده است، در سیکل تکرار بعدی که ۶۹ روز نوادل بعد رخ خواهد داد زمان محلی ساعت ۲۳:۱۶ دقیقه خواهد بود. درحالی که بر اساس ویژگی مدار چند خورشیدآهنگ طراحی شده، باستی این مقدار برابر زمان محلی سیکل قبلی یعنی ساعت ۹ صبح می‌بود. لازم به توضیح است که با توجه به اینکه در این تحقیق تمرکز بر روی لحظه صفر مأموریتی و اثرات خطای تزریق پرتتابگر بوده است نتایج جدول ۷ بدون لحاظ کردن اثرات دینامیک اغتشاشات ناشی از زمین و اجرام آسمانی، تنشیعات خورشید، درگ اتمسفر و دیگر عوامل موثر بر پارامترهای مداری که در طول مأموریت ماهواره‌های مدار اثر می‌نمایند، حاصل شده است.

تعیین محدوده قابل قبول برای تعییر زمان محلی، تابعی از مأموریت ماهواره و مشخصه‌های محموله اپتیکی است. هرچه عمر مأموریتی ماهواره بیشتر باشد و یا بازه زمانی مناسب برای تصویربرداری محموله کوتاه‌تر باشد، محدوده قابل قبول شیفت زمان محلی در هر سیکل تصویربرداری باریکتر و در نتیجه محدوده عدم قطعیت‌های دقت تزریق مداری محدودتر خواهد شد. به عنوان مثال، برای یک مأموریت سنجشی با عمر یک سال و سیکل تصویربرداری ۶۹ روز در بازه زمانی ۹:۳۰ تا ۱۴:۳۰ عدم قطعیت‌های

- [8] M. Capderou, *Handbook of satellite orbits: From kepler to GPS*: Springer Science & Business, 2014.
- [9] K. Bilmoria and R. Krieger, "Slot architecture for separating satellites in sun-synchronous orbits," in *AIAA SPACE 2011 Conference & Exposition*, 2011, p. 7184.
- [10] R. Sandau, H.-P. Roeser, and A. Valenzuela, "Small satellite missions for earth observation," *New Developments and Trends*, 2010.
- [11] D. Mortari, M. P. Wilkins, and C. Brucolieri, "On sun-synchronous orbits and associated constellations," in *Paper of the 6-th Dynamics and Control of Systems and Structures in Space Conference, Riomaggiore, Italy*, 2004, p. 43.
- [12] E. Ortore, C. Circi, C. Olivieri, and M. Cinelli, "Multi-sunsynchronous orbits in the solar system," *Earth, Moon, and Planets*, vol. 111, no. 3, pp. 157-172, 2014.
- [13] C. Circi, E. Ortore, F. Bunkheila, and C. Olivieri, "Elliptical multi-sun-synchronous orbits for Mars exploration," *Celestial Mechanics and Dynamical Astronomy*, vol. 114, no. 3, pp. 215-227, 2012.
- [14] X. Fu, M. Wu, and Y. Tang, "Design and maintenance of low-Earth repeat-ground-track successive-coverage orbits," *Journal of Guidance, Control, and Dynamics*, vol. 35, no. 2, pp. 686-691, 2012.
- [15] S. W. Paek and S. Kim, "Space-based Earth remote sensing: Part 1. Satellite orbit theory," *Satellite Oceanography and Meteorology*, vol. 3, Issue 2, pp.1-11, 2018.
- [16] X. Luo, M. Wang, G. Dai, and X. Chen, "A novel technique to compute the revisit time of satellites and its application in remote sensing satellite optimization design," *International Journal of Aerospace Engineering*, vol. 2017, no. 6. pp. 1-6, 2017.

طراحی و تحلیل حساسیت یک مدار عملیاتی برای کاربردهای پایش زمین در نبود امکان تریق به مدار خورشید آهنگ

به عنوان ادامه و تکمیل این پژوهش، موضوع انتخاب مشخصه‌های مداری بینهای با درنظر گرفتن ابعاد و جرم ماهواره، عمر مأموریتی ماهواره، محدوده زمانی تصویربرداری، اغتشاشات مداری موجود در طول عمر مأموریتی ماهواره و الزامات مربوط به زیرسیستم‌های پیشرانش و مخابرات، پیشنهاد می‌شود.

مراجع

- [1] C. Olivieri and L. Anselmo, "Multi-sun-synchronous (MSS) orbits for earth observation," *Astroynamics 1991*, pp. 123-133, 1992.
- [2] C. D. Noyes, "Characterization of the Effects of a Sun-Synchronous Orbit Slot Architecture on the Earth's Orbital Debris Environment," Master Thesis, The Faculty of California Polytechnic State University San Luis Obispo, 2013.
- [3] G. R. Hintz, *Orbital mechanics and astrodynamics*: Springer, 2015.
- [4] Y. Zhang, Y. Xu, and H. Zhou, *Theory and Design Methods of Special Space Orbits*: Springer, 2017.
- [5] E. Watson, "Sun-synchronous orbit slot architecture analysis and development," M.Sc. Thesis, The Faculty of California Polytechnic State University San Luis Obispo 2012.
- [6] M. Capderou, *Satellites: Orbits and missions*: Springer Science & Business Media, 2006.
- [7] C.-Y. Wang, "Celestial mechanics and astrodynamics: theory and practice, by P. Gurfil and PK Seidelmann: Scope: textbook. Level: postgraduate, researcher, scientist," ed: Taylor & Francis, 2017.